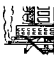



T.			U_f	I_f	U_c	U_b	U_{g2}	R_{g2}	U_{g1}	I_a	I_{g2}	S	R_i	R_k	$U_{f/k}$	P_a	P_{g2}	
			V	A	V	V	V	k Ω	V	mA	mA	mA/V	M Ω	Ω	V	W	W	
EF 15	Tif	1	6,3	0,45	{ 250 300 }		100 125		-2 ÷ -16	12	3	6 ÷ 0,06	0,5	130		3	0,7	
EF 43	eur	2	6,3	0,33	{ 100 250 }		(75) (135)	10 33	-1 ÷ -11 -2 ÷ -28	7,5 15	2,5 3,5	5,8 ÷ 0,058 6,4 ÷ 0,064	0,3 0,5	100 100	(Fig. 1)			
EF 51 ¹⁾	eur	3	6,3	0,35	{ 300 250 300 }		250 250 300	maximum ($I_k=20$ mA; $R_{g1}=1$ M Ω ; $I_{g1}=0,3$ μ A, $U_{g1}=-1,3$ V)	-2 ÷ -8 maximum ($I_k=20$ mA; $f=100$ MHz; $R_{g1}=1$ M Ω)	14 5,5	2,6 1,4	9,5 ÷ 0,1 5	0,5 0,15	(stat.)	100	3,75	0,7	
EF 85	eur	4	6,3	0,3	{ 100 250 }		60 100	60	-1,1 -2	10 10	2,5 2,5	6 ÷ 0,06	0,6	160	(Fig. 1)			
HF 85	eur	4	12,6	0,3	{ 250 250 }		(97)	20	-1,9 ÷ -35	10	2,5	6 ÷ 0,06	0,6	160	(Fig. 2)			
EF 89	eur	5	6,3	0,2	{ 300 170 250 }		250 100 100	maximum ($I_k=15$ mA; $R_{g1}=3$ M Ω ; $I_{g1}=0,3$ μ A, $U_{g1}=-1,3$ V)	-1 -2	12 9	4,4 3	4,4 3,6	0,3 1	(stat.)	150	2,5	0,65	
EF 93	eur	6	6,3	0,3	{ 100 250 }		(82) (50)	4 20	0 ÷ -10 0 ÷ -10	11,8 7,2	4,4 2,5	5 ÷ 0,16 4,1 ÷ 0,14	0,2 0,45	0 0	(Fig. 1)			
HF 93	eur	6	12,6	0,15	{ 100 100 100 100 170 170 200 200 250 250 }		(100) (66) (79) (109) (64) (107) (61) (100)	16 20 16 40 25 60 50	-1,9 ÷ -10 -1 ÷ -10 0 ÷ -20 -1,95 ÷ -20 0 ÷ -20 -1,9 ÷ -20 0 ÷ -20 -1,95 ÷ -20	8,6 6 12,4 11,2	3,1 2,1 4,55 3,8	3,3 ÷ 0,16 3,2 ÷ 0,15 5,6 ÷ 0,11 3,75 ÷ 0,11	0,3 0,47 0,45 0,47	160 130 0 130	(Fig. 1)			
3 BA 6	amer	6	3,15	0,6	{ 90 300 }		(105) (100)	33 50	-1 ÷ -50 -1,95 ÷ -20	11,5 9,2	4,2 3,1	4,4 ÷ 0,04 3,6 ÷ 0,24	1,5 0,9	68 160	(Fig. 1a)	150	2,25	0,45
EF 805 S ²⁾	Tif	4	6,3	0,295	{ 250 170 300 }		125 (85) 250	maximum ($I_k=16,5$ mA; $R_{g1}=3$ M Ω ; $I_{g1}=0,3$ μ A, $U_{g1}=-1,3$ V)	-1 ÷ -20 -1 ÷ -20	10,8 11	4,4 4,2	4,3 ÷ 0,04 4,4 ÷ 0,04	0,25 1,5	68 68	(stat.)	3	0,6	
W 729	MOG	4	6,3	0,3	{ 170 300 }		170 300	maximum ($I_k=12$ mA; $R_{g1}=3$ M Ω ; $I_{g1}=0,3$ μ A, $U_{g1}=-1,3$ V)	-2 ÷ -16	10	2,5	6	0,005	150	(Fig. 5)	90	0,5	
3 BZ 6	amer	7	3,15	0,6	{ 250 300 }		150	maximum ($\mu_{(g2/g1)}=47$)	-7 ÷ -23	11	2,6	6,1 ÷ 0,05	0,6	180	(Fig. 1)	2	0,5	
6 BZ 6	amer	7	6,3	0,3	{ 250 300 }		200	maximum ($R_{g1}=1$ M Ω)	-2 ÷ -16	10	2,5	6	0,6	180	(Fig. 1)	200	2,5	0,5

Y

γ

T.	Image	Image	U _f V	I _f A	U _a V	U _b V	U _{g2} V	R _{g2} kΩ	U _{g1} V	I _a mA	I _{g2} mA	S mA/V	R _i MΩ	R _k Ω	U _{flk} V	P _a W	P _{g2} W
6 DC 6	amer	7	6,3	0,3	{ 200 300		150 200		-3 ÷ -12,5	9	3	5,5 ÷ 0,05	0,5	180	200	2	0,5
6 SG 7	int	8	6,3	0,3	{ 100 250		100 125		-1 ÷ -11,5	8,2	3,2	4,1 ÷ 0,04	0,25				
12 SG 7	int	8	12,6	0,15	{ 250 300		150 200		-1 ÷ -14 -2,5 ÷ -17,5	11,8 9,2	4,4 3,4	4,7 ÷ 0,04 4 ÷ 0,04	0,9 1				
7 H 7	int	9	6,3	0,3	{ 100 250		100 150		-1 ÷ -12	8,2	3,3	4,8 ÷ 0,035	0,25	80			
14 H 7	int	9	12,6	0,15	{ 250 300	250	150	30	-2,5 ÷ -19	9,5	3,5	4,2 ÷ 0,035	0,8	200			
9 D 7	Bri	4	6,3	0,3	{ 250 275		100 275		-2,5 ÷ -30	9,5	3,5	4,2 ÷ 0,035	0,8	200			
1853	int	10	6,3	0,45	{ 300 300	300	200	30	-1,2 ÷ -20	10	3,3	8,4 ÷ 0,007	0,75	100			
1853-GT	int	11	6,3	0,45	{ 300 300	300	200	30	maximum (I _k = 30 mA; μ _(g2/g1) = 35)	12,5	3,2	5 ÷ 0,05	0,7				
									maximum (I _{g1} = 1 μA; U _{g1} = -1,5 V)	12,5	3,2	5 ÷ 0,05	0,7				

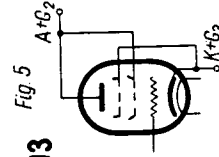


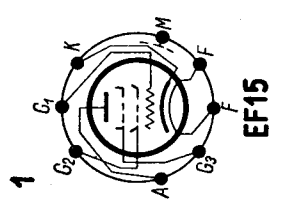
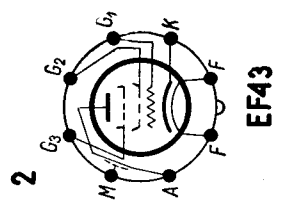
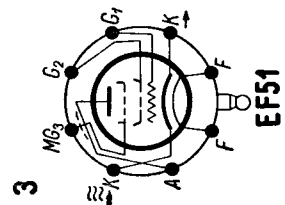
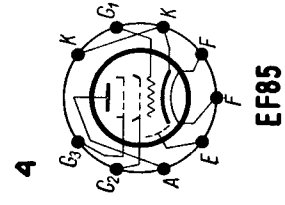
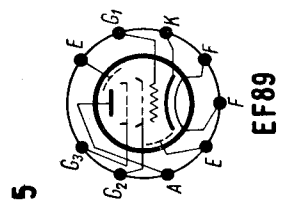
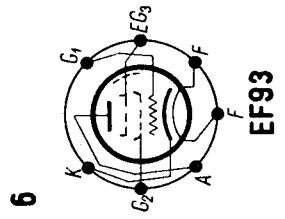
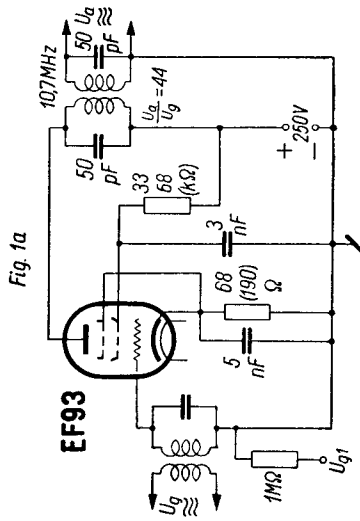
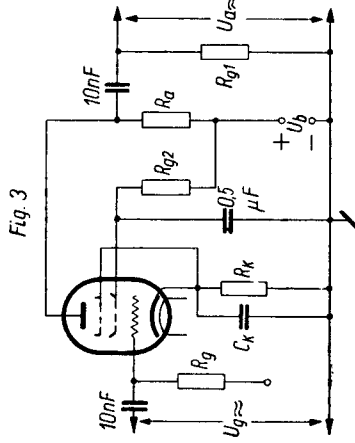
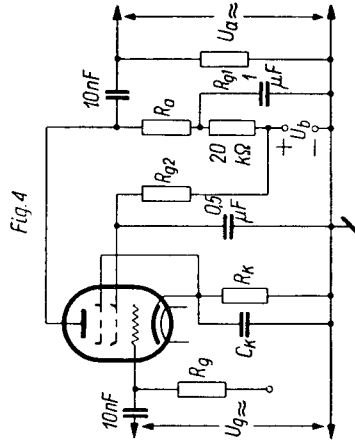
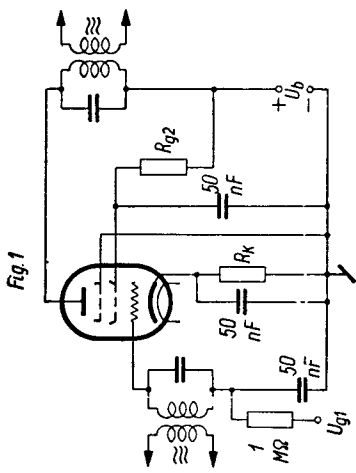
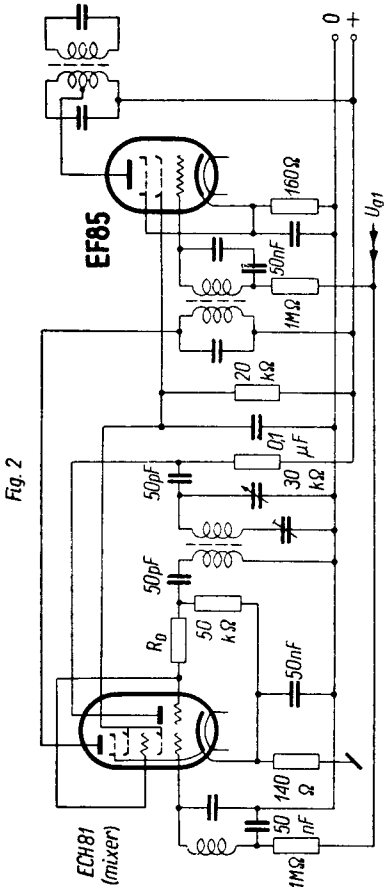
Fig. 5
EF93

T.	C _{g1/k}		C _{g1/a}		C _{g1/g2}	
	pF	pF	pF	pF	pF	pF
EF 15	9,5	6,5	0,005	0,025		
EF 43	9,5	4,5	0,006	0,2		
EF 51	10	4	0,007	0,02		
EF 85	7,2	3,4	0,007	0,15		
EF 89	5,5	5,1	0,002	0,05		
EF 93	5,5	5	0,002	0,005		
EF 805 S	7,7 ± 0,6	3,7 ± 0,6	0,007	0,005		
W 727	5,5	5	0,0035			
W 729	7,5	3,3	0,007			
6 BZ 6	7,5	1,8	0,02			
6 DC 6	6,5	2	0,02			
6 K 4 II	5,5	5	0,0035			
6 SG 7	8,5	7	0,003			
7 H 7	8	7	0,007			
1853	8	8	0,015			

Equivalents

CK 5749 ³⁾	Ray	=	EF 93	Maz	=	EF 85
GL-5749 ³⁾	G.E	=	EF 93	Tes	=	EF 93
JL-104	CCCP	=	EF 93	CCCP	=	1853
M 8101 ³⁾	Mul	=	EF 93	CCCP	=	EF 93
PM 04	SFR	=	EF 93	CCCP	=	6 SG 7
W 148	Marc	=	7 H 7	CCCP	=	EF 93
W 719	Marc	=	EF 85	CCCP	=	6 SG 7
W 727	Marc	=	EF 93	CCCP	=	1853
6 AB 7	int	=	1853	amer	=	HF 93
6 BA 6	amer	=	EF 93	Tes	=	HF 93
6 BA 6 W ²⁾	amer	=	EF 93	CCCP	=	12 SG 7
6 BY 7	amer	=	EF 85	CCCP	=	12 SG 7
6 DA 6	amer	=	EF 89	amer	=	EF 93
6 DG 7	amer	=	EF 89	amer	=	6 SG 7

1) vide typ EF 42 gr. 169
 2) vide * 4, a, b, c, = 10000, d, e, f, g (U_f = 6,3 V ± 5%)
 3) vide * 4, a, b, c, f, g (U_f = 6,3 V ± 10%)



EF 89 Fig. 3

($R_g = 1 \text{ M}\Omega$; $R_{g1} = 1 \text{ M}\Omega$; $C_k = 10 \text{ }\mu\text{F}$)

U_b	R_a	R_{g2}	R_k	I_a	I_{g2}	μ	$U_{a\approx}$	h
V	M Ω	M Ω	Ω	mA	mA	$U_{a\approx}/U_{g\approx}$	V	%
100	0,1	0,3	2000	0,6	0,22	62	3 ÷ 8	0,65 ÷ 1,9
170	0,1	0,3	800	1,3	0,45	90	3 ÷ 8	0,6 ÷ 0,95
200	0,1	0,3	700	1,45	0,5	100	3 ÷ 8	0,5 ÷ 0,7
250	0,1	0,3	500	2	0,7	115	3 ÷ 8	0,2 ÷ 0,5

EF 89 Fig. 3

($U_{g1} = -1,5 \text{ V}$; $R_g = 10 \text{ M}\Omega$; $R_{g1} = 1 \text{ M}\Omega$)

U_b	R_a	R_{g2}	R_k	I_a	I_{g2}	μ	$U_{a\approx}$	h
V	M Ω	M Ω	Ω	mA	mA	$U_{a\approx}/U_{g\approx}$	V	%
100	0,1	0,5	0	0,53	0,17	98	3 ÷ 8	1,15 ÷ 2,9
170	0,1	0,5	0	1	0,33	135	3 ÷ 8	0,9 ÷ 2,15
200	0,1	0,5	0	1,15	0,37	150	3 ÷ 8	0,85 ÷ 2,1
250	0,1	0,5	0	1,5	0,48	170	3 ÷ 8	0,85 ÷ 1,9

EF 93 Fig. 3

($R_g = 0,5 \text{ M}\Omega$; $R_{g1} = 0,7 \text{ M}\Omega$; $C_k = 50 \text{ }\mu\text{F}$)

U_b	R_a	R_{g2}	R_k	$I_a + I_{g2}$	μ	$U_{a\approx}$
V	M Ω	M Ω	Ω	mA	$U_{a\approx}/U_{g\approx}$	V
200	0,1	0,35	500	1,7	120	6
200	0,2	0,8	1100	0,88	146	7,3
250	0,15	0,48	550	1,66	173	8,7
250	0,3	1,1	1000	0,87	205	10,3

EF 89 Fig. 4

($R_g = 1 \text{ M}\Omega$; $R_{g1} = 1 \text{ M}\Omega$; $C_k = 10 \text{ }\mu\text{F}$)

U_b	R_a	R_{g2}	R_k	I_a	I_{g2}	μ	$U_{a\approx}$	h
V	M Ω	mA	Ω	mA	mA	$U_{a\approx}/U_{g\approx}$	V	%
100	0,2	0,7	3000	0,38	0,15	77	3 ÷ 8	0,65 ÷ 1,8
170	0,2	0,7	1800	0,65	0,2	95	3 ÷ 8	0,25 ÷ 1,1
200	0,2	0,7	1500	0,7	0,22	112	3 ÷ 8	0,6 ÷ 1,6
250	0,2	0,7	1200	0,9	0,28	135	3 ÷ 8	0,35 ÷ 1,05

EF 89 Fig. 4

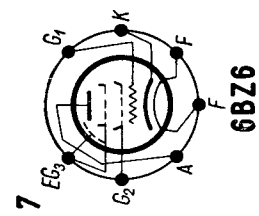
($U_{g1} = -1,5 \text{ V}$; $R_g = 10 \text{ M}\Omega$; $R_{g1} = 1 \text{ M}\Omega$)

U_b	R_a	R_{g2}	R_k	I_a	I_{g2}	μ	$U_{a\approx}$	h
V	M Ω	M Ω	Ω	mA	mA	$U_{a\approx}/U_{g\approx}$	V	%
100	0,2	1,2	0	0,25	0,08	120	3 ÷ 8	1,1 ÷ 2,5
170	0,2	1,2	0	0,45	0,14	175	3 ÷ 8	0,7 ÷ 1,7
200	0,2	1,2	0	0,55	0,16	200	3 ÷ 8	0,65 ÷ 1,55
250	0,2	1,2	0	0,79	0,24	240	3 ÷ 8	0,5 ÷ 1,3

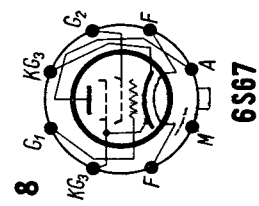
EF 93 Fig. 4

($R_g = 1 \text{ M}\Omega$; $R_{g1} = 0,7 \text{ M}\Omega$; $C_k = 50 \text{ }\mu\text{F}$)

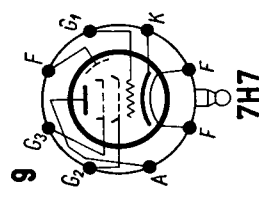
U_b	R_a	R_{g2}	R_k	U_{g1}	μ	$U_{a\approx}$	h
V	M Ω	M Ω	Ω	V	$U_{a\approx}/U_{g\approx}$	V	%
250	0,05	0,11	2000	0	70	5 ÷ 10	1,5 ÷ 2,8
250	0,05	0,11	2000	-12	7,1	5 ÷ 10	2,5 ÷ 4,8
250	0,1	0,25	2500	0	86	5 ÷ 10	2,1 ÷ 2,6
250	0,1	0,25	2500	-12	6,8	5 ÷ 10	3 ÷ 5,4



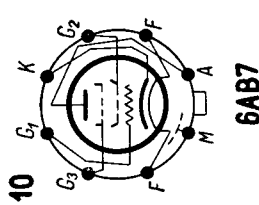
6BZ6



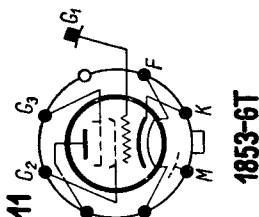
6S67



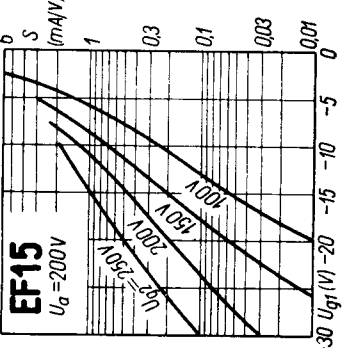
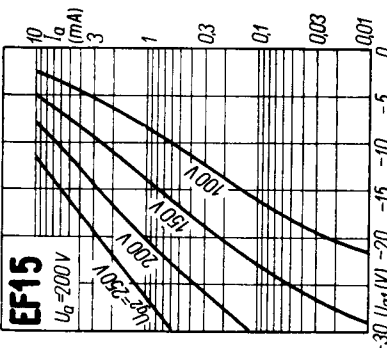
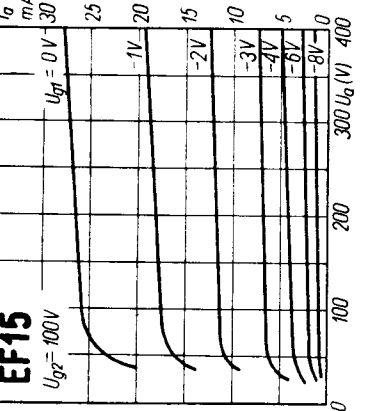
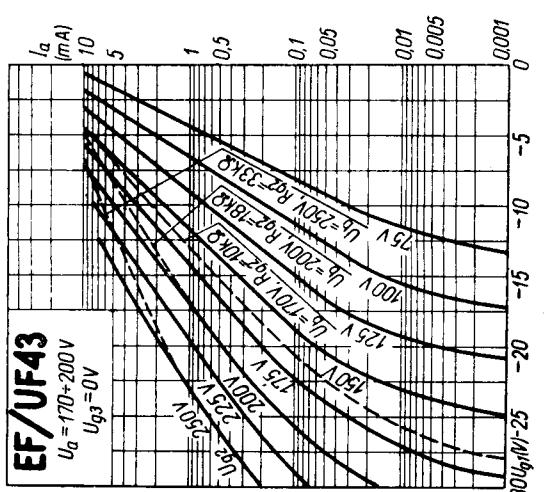
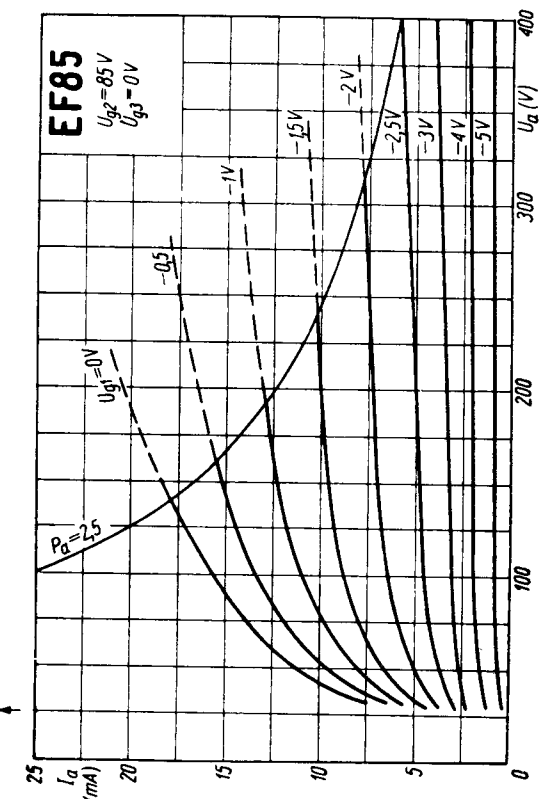
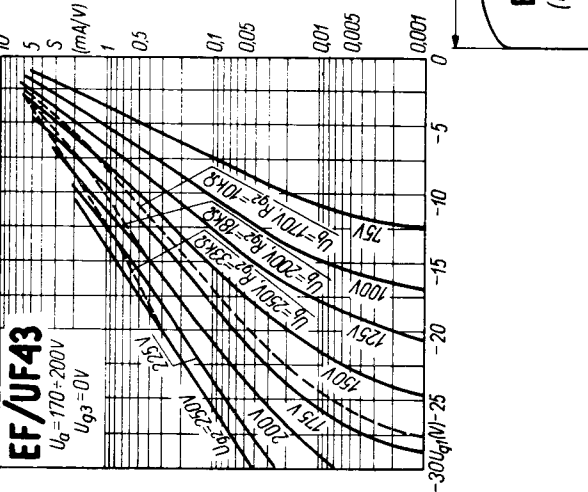
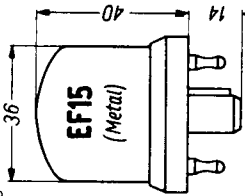
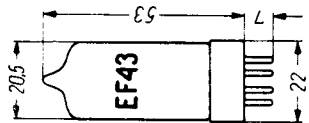
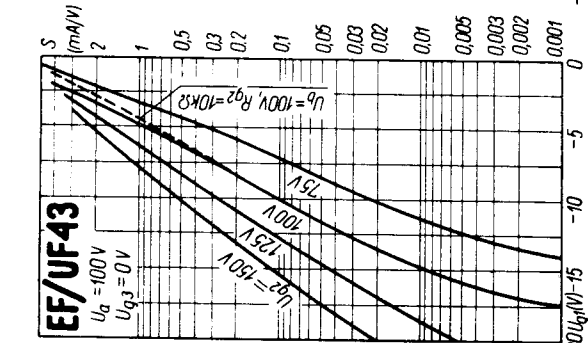
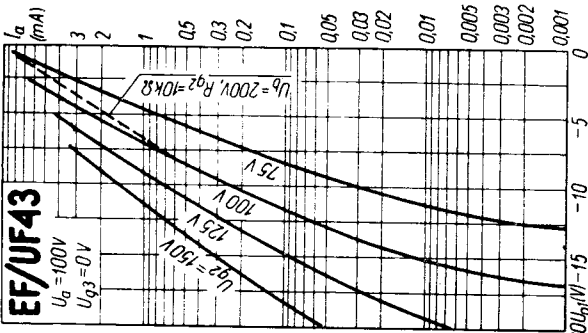
7H7

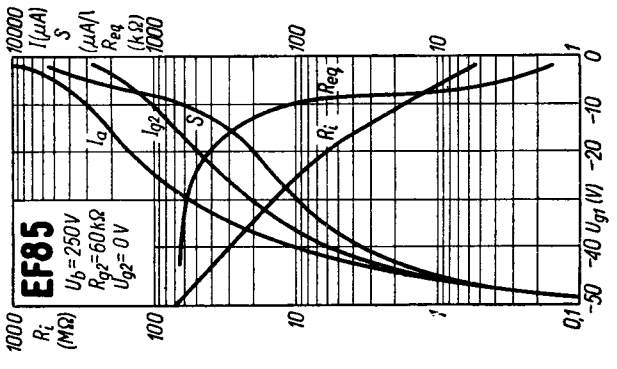
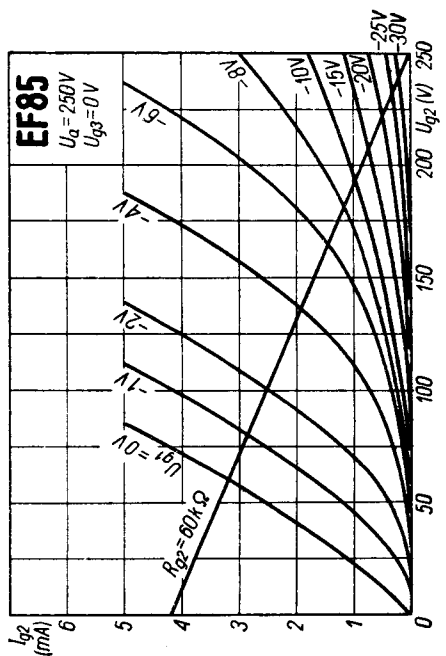
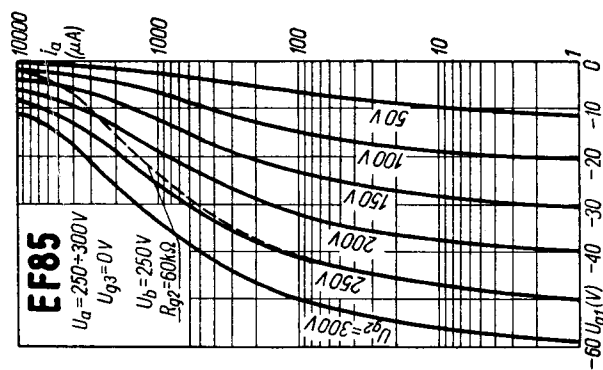
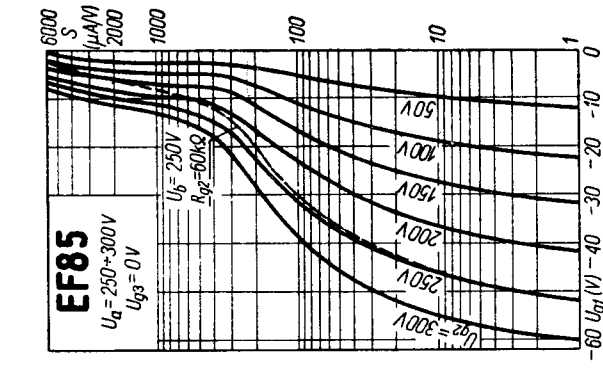
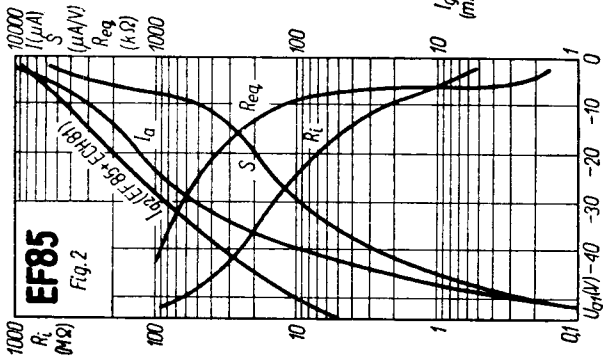
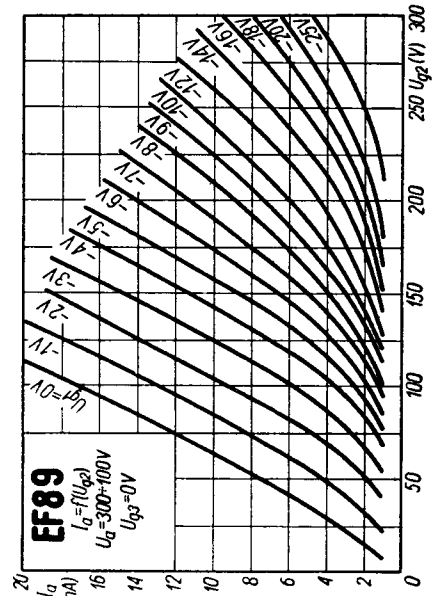
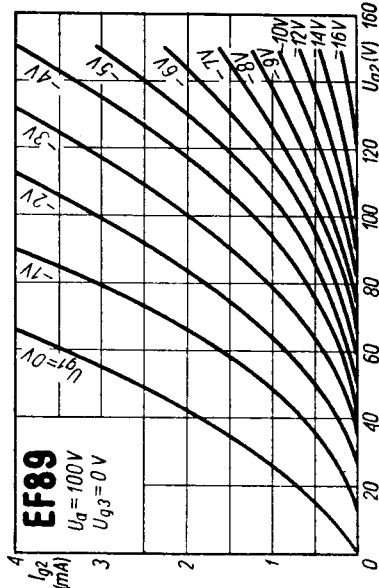
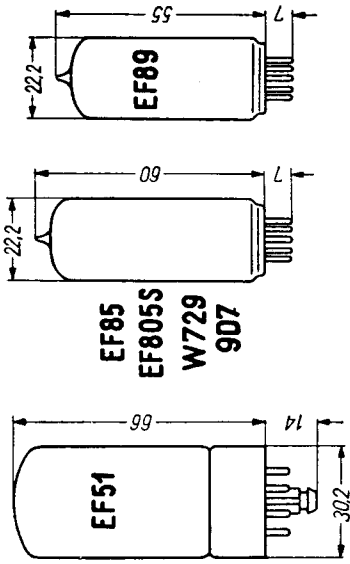


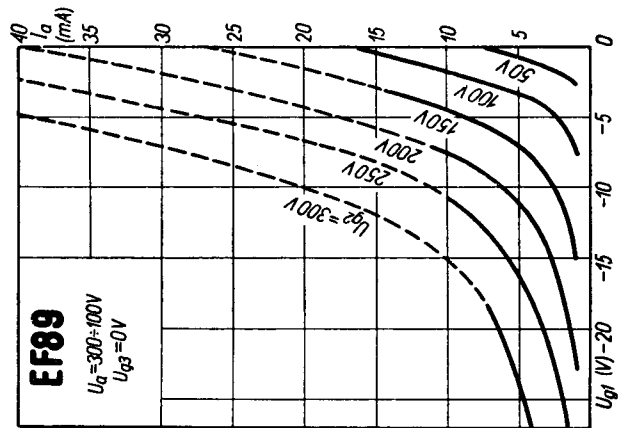
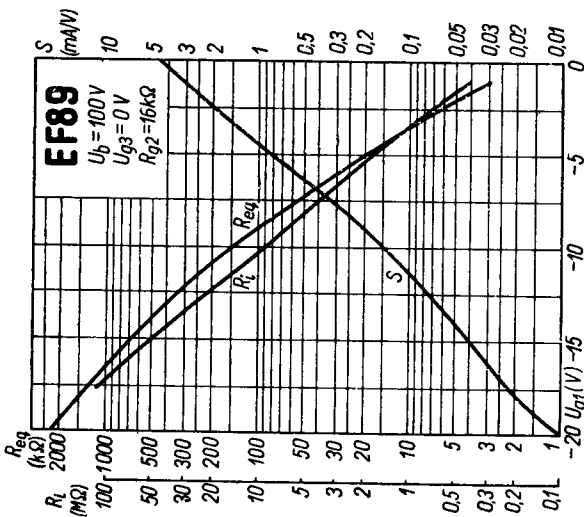
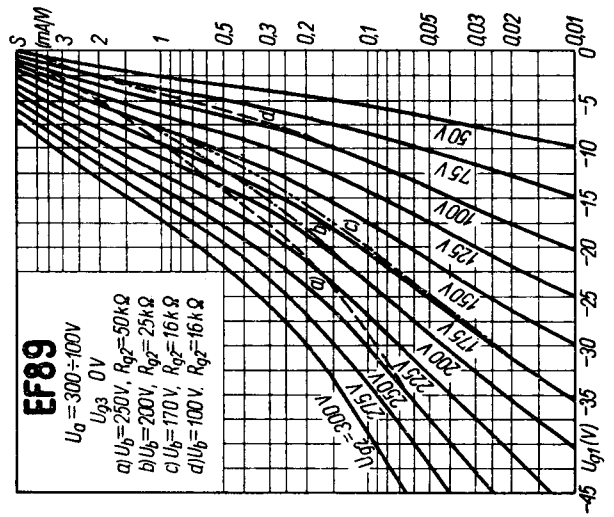
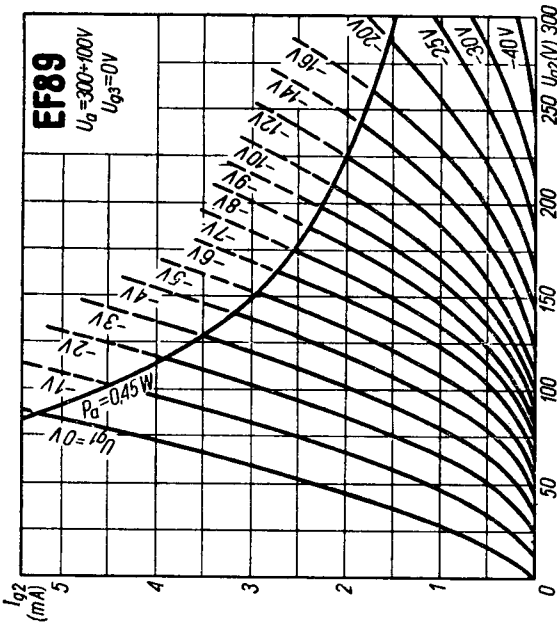
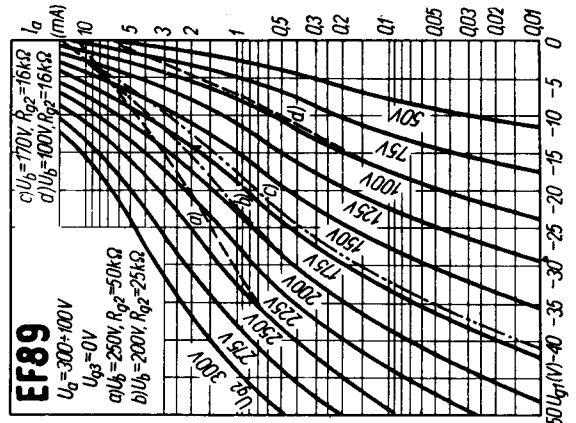
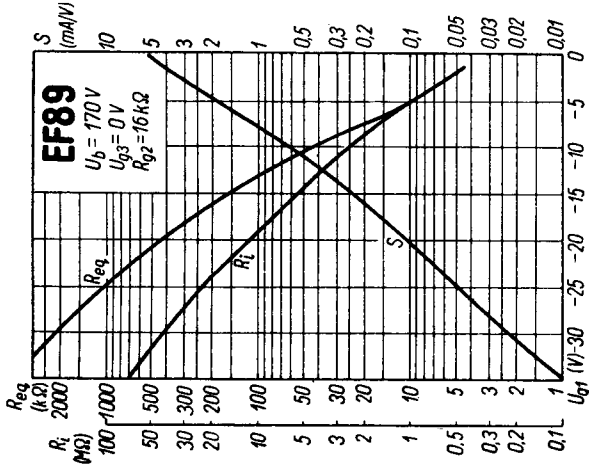
6AB7

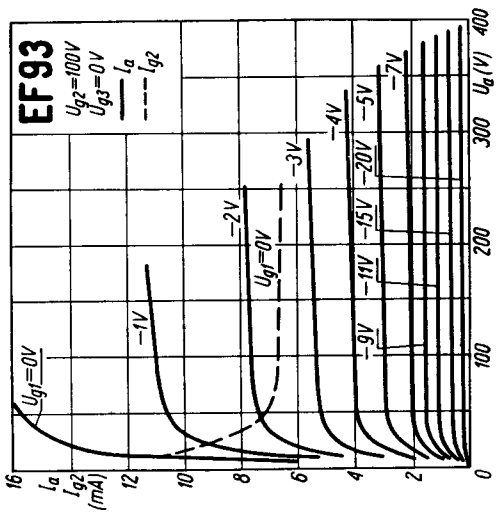
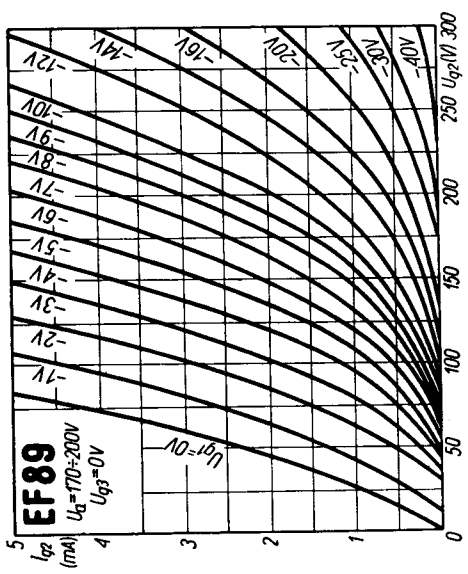
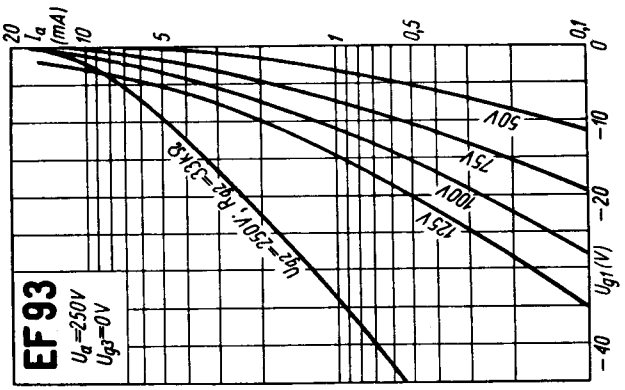
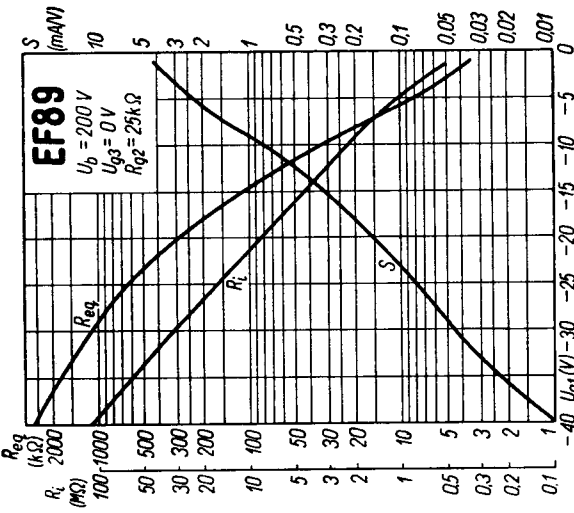
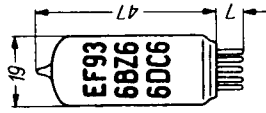
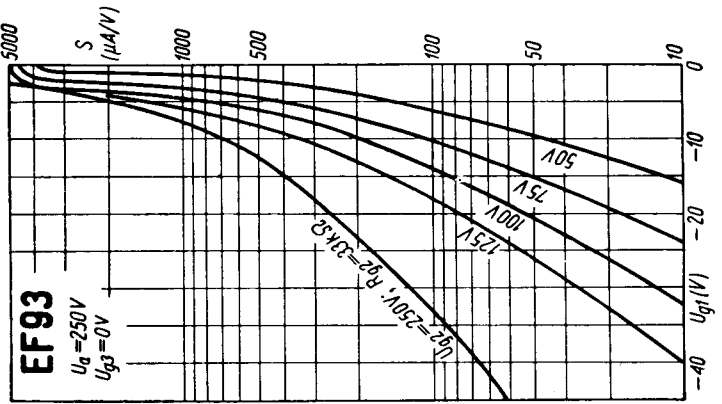
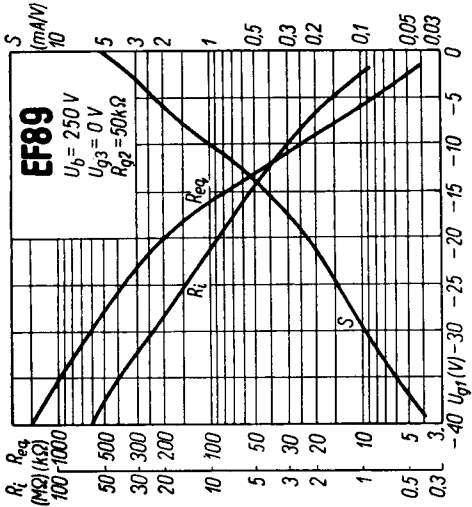


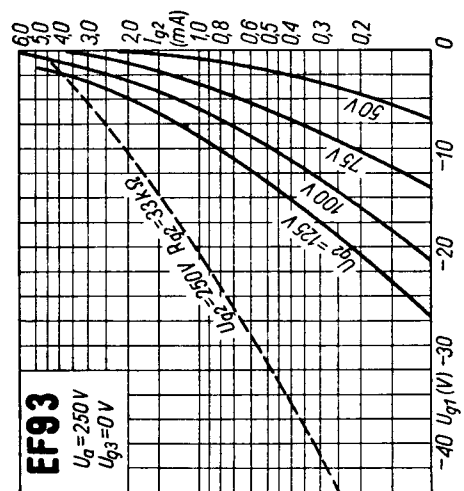
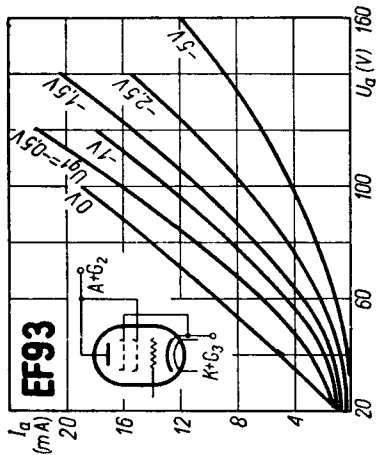
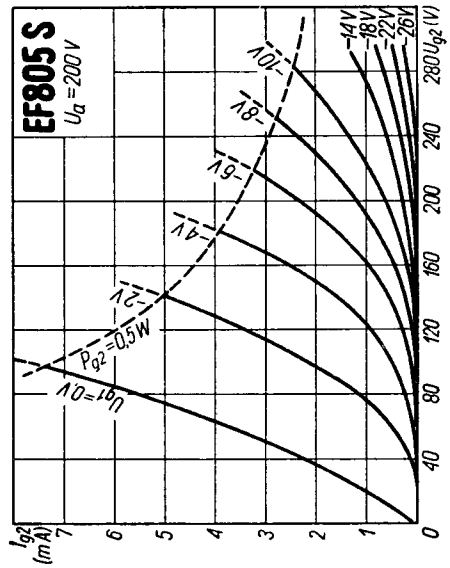
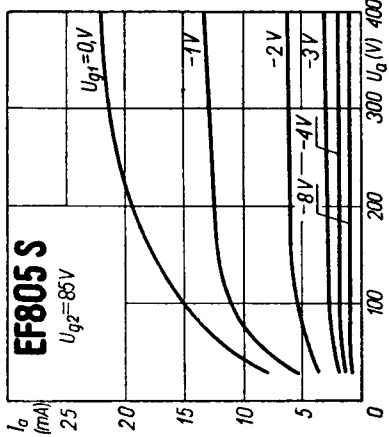
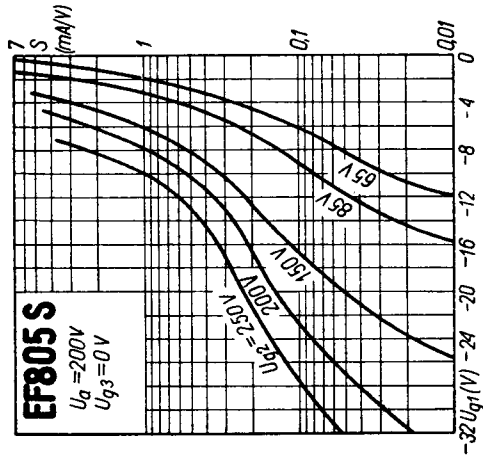
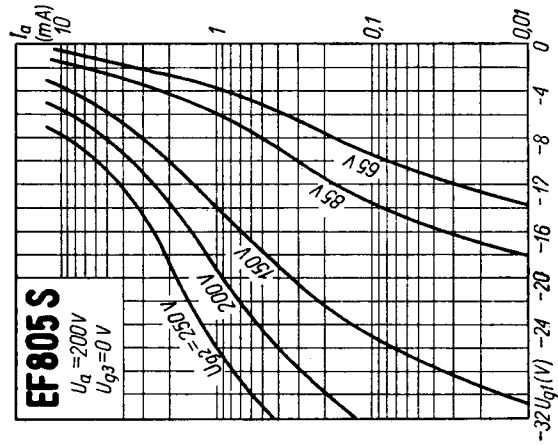
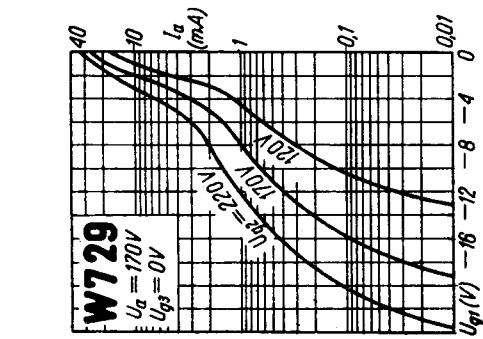
1853-GT

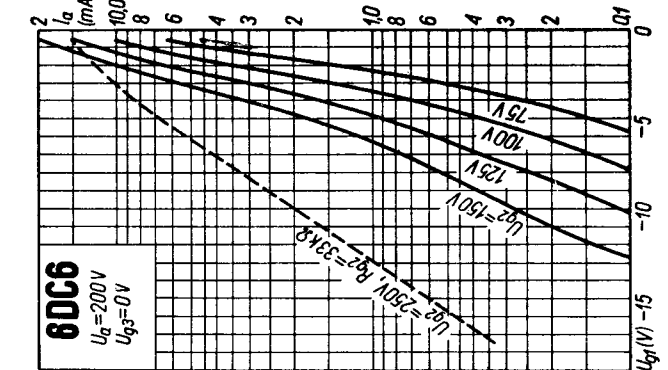
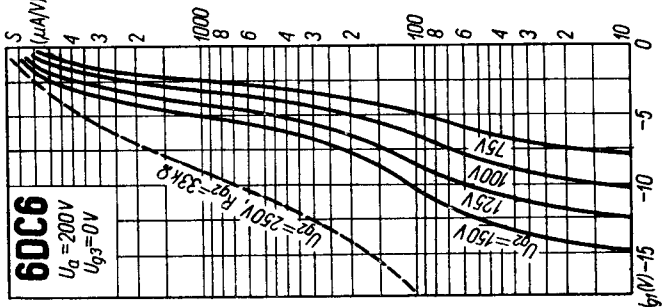
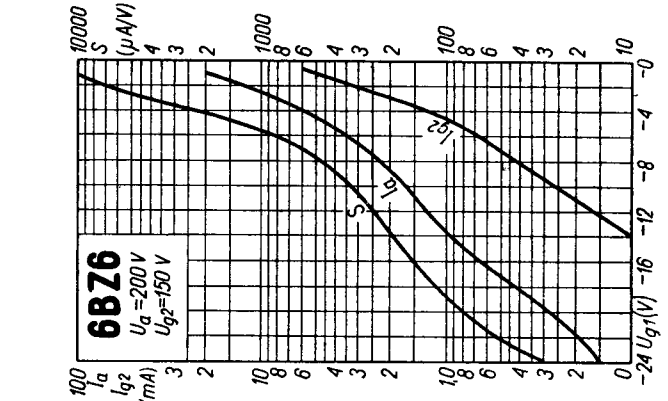
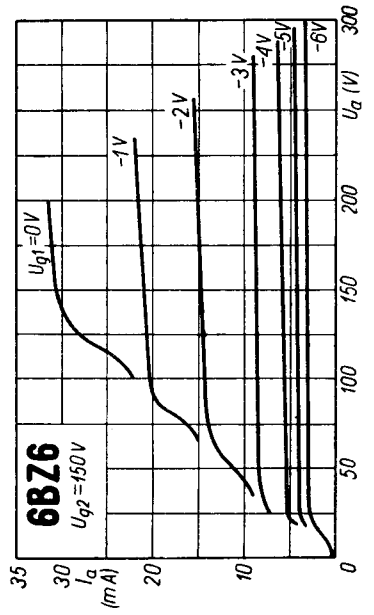
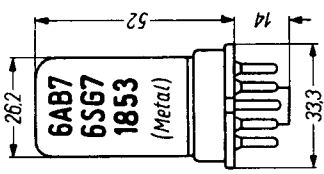
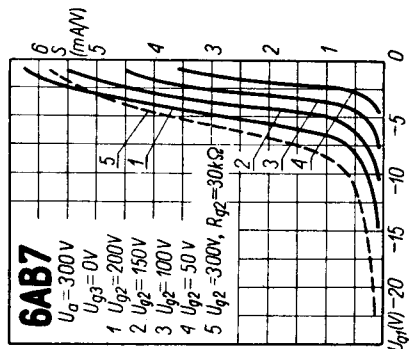
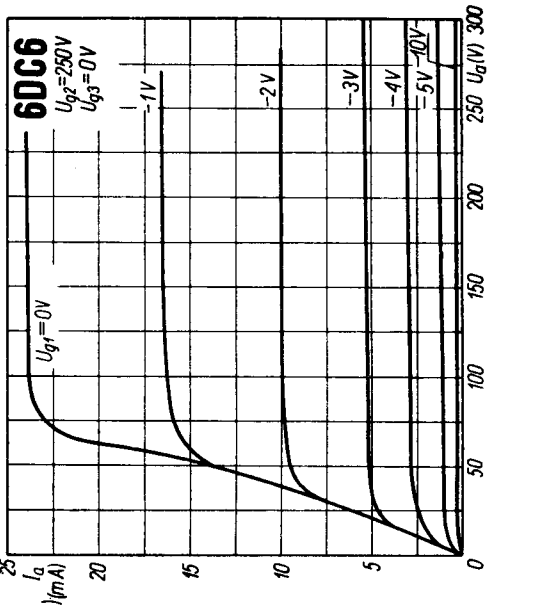
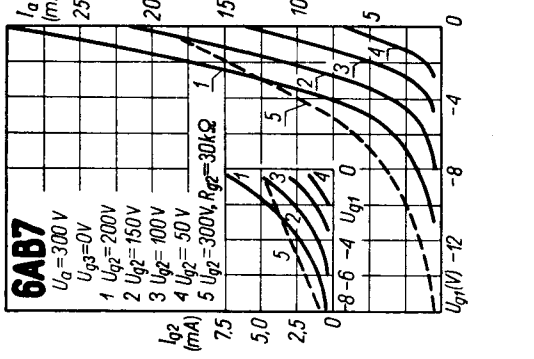
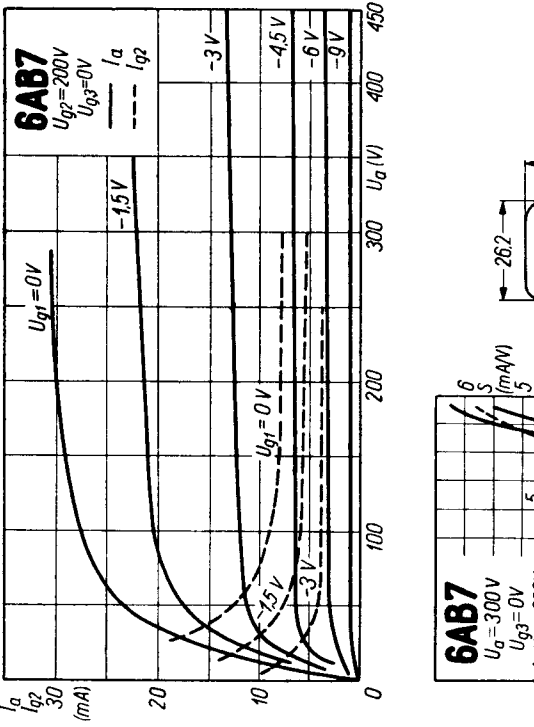


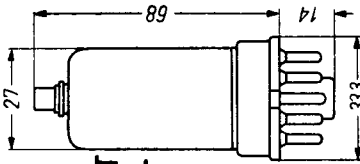
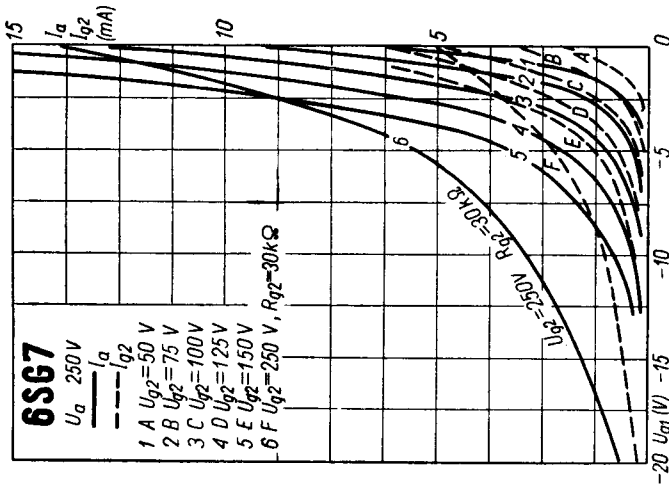












6S67-6T
1853-6T

